

三輪幸弘、吉村 裕

要 旨

羊毛・絹の染色・化学加工における事故原因の解明のため、赤外分光法や電気泳動法を応用して、 タンパク質の化学的な変化(損傷)の原因を識別、推定する可能性を検討した。

その結果、羊毛の化学処理(酸化剤、還元剤)によって生成するアミノ酸残基の種類が、赤外分 光法で評価できることから、処理の識別が可能であった。また、羊毛・絹の染色処理(pH値、温 度)によって変化するタンパク質の分子量が、電気泳動法で評価できることから、処理の識別が可 能であった。

1. はじめに

羊毛の染色・化学加工における事故原因を 解明するため、化学的な損傷の評価法として、 溶解度 (アルカリ溶解度、尿素・亜硫酸水素 ナトリウム溶解度) と着色法 (キトンレッド G法、メチレンブルー法) とが広く用いられ ている [1]。しかし、処理が複合した場合、 損傷の原因を識別、推定できないなどの問題 がある。

最近、羊毛の繊維表面の化学的な変化を、フーリエ変換赤外分光/減衰全反射法を用い、 反応生成物(アミノ酸残基)の特性吸収帯を 2次微分スペクトル(ピークの分離)で解析 する評価法が報告されている [2,3]。また、 羊毛のタンパク質の化学的な変化を、ゲル電 気泳動法で分析する評価法が報告されている [4]。そこで、赤外分光法と電気泳動法とを 応用して、羊毛の化学的な変化(損傷)の原 因を識別、推定する可能性について検討した。 また、絹の損傷の評価法として、電気泳動法 の応用も検討した。

2. 実験

2. 1 試料

羊毛試料は、メリノ種羊毛のトップ(平均・ 繊維直径19.8µm)と梳毛糸(2/60)とを用 いた。トップは、ジエチルエーテルでソック スレー抽出して脱脂し、エタノールと蒸留水 でそれぞれ洗い、脱水した後、調湿(20℃、 65%RH)した。

羊毛トップは、表1に示す漂白・防縮処理 (浴比1:25)を行い、蒸留水で十分に洗い、 脱水した後、風乾した。

梳毛糸は、湯洗いした後、ブランク染色処理 [均染剤1%owf (AVOLAN SCN150、バイエル社)、pH2-8 (McIlvaine緩衝液—クエン酸・リン酸水素二ナトリウム)、温度100-120 ℃、時間30-120分、浴比1:30] を行い、蒸

処理剤		処 理 条 件	
漂白剤	酸化漂白 (酸化剤)	過酸化水素(30%) Prestogen W(酸性媒体,BASF社) Kieralon OL-S(浸透剤,BASF社)	20-40mL/L,70-90℃,45-90分 4-8g/L(pH=5) 1g/L
		過酸化水素(30%) ニリン酸ナトリウム十水和物(アルカリ性媒体) Kieralon OL-S(浸透剤, BASF社)	20-40mL/L,50-70℃,45-90分 5-10g/L(pH=9) 1g/L
	還元漂白 (還元剤)	Blankit IN(亜ジチオン酸ナトリウム、BASF社)	5-10g/L,70-90℃,45-90分
	混合漂白(酸化剤/還元剤)	過酸化漂白(30%) Prestogen W(酸性媒体,BASF社) Kieralon OL-S(浸透剤,BASF社) /Blankit IN(亜ジチオン酸ナトリウム,BASF社)	20mL/L,70°C,45分 4g/L(pH=5) 1g/L 5g/L,70°C,45分
防縮剤	塩素酸化 (酸化剤) /脱塩素 (還元剤) /還元漂白 (還元剤)	Laventin LNB(湿潤剤, BASF社) 硫酸ナトリウム(無水) 酢酸 Basolan DC(ジクロロイソシアヌール酸塩, BASF社) ニリン酸ナトリウム(無水) / 亜硫酸水素ナトリウム / Blankit IN(亜ジチオン酸ナトリウム, BASF社)	2% 2%,35℃,20分
	酸素酸化 (酸化剤 /還元剤)	Basolan 2448(ペルオキソー硫酸塩,BASF社) Leophen M(浸透剤,BASF社) 炭酸ナトリウム (無水) /亜硫酸ナトリウム	5%,20℃,10分 1% 0.5%(pH=6-7) 5%,30℃,10分

留水で十分に洗い、脱水した後、風乾した。

処理した羊毛試料は、アルカリ溶解度を測定した。アルカリ溶解度は、羊毛試料(糸は長さ約1cmに切断)1gを、0.1mol/L水酸化ナトリウム溶液100mL中で、温度65℃で1時間処理した後の試料の減量を質量割合(%)で表す。羊毛繊維の損傷の程度を示し、ポリペプチド鎖(主鎖結合)の切断と架橋(主鎖間結合)の切断とに関係する[1]。未処理の試料のアルカリ溶解度は、トップは14.3%、梳毛糸は14.7%であった。

絹試料は、絹糸(繊度21中、練減率25%) を用いた。

絹糸は、湯洗いした後、ブランク染色処理 [均染剤1%owf (AVOLAN SCN150、バイエル社)、pH2-8 (McIlvaine緩衝液)、温度80-100℃、時間45分、浴比1:30]を行い、蒸留水で十分に洗い、脱水した後、風乾した。

2. 2 赤外分光法

処理した羊毛試料 (トップ) は、フーリエ 変換赤外 (FTIR) 分光/減衰全反射 (ATR) 法で、吸光度スペクトルを測定した。測定は、 フーリエ変換赤外分光光度計 (FTIR - 8300、 島津製作所)に全反射測定装置 (IR-ATR100、 日本電子-Specac社)を取り付け、焦電検出 器 (TGS) を用い、分解能4cm⁻¹、積算回数100 回で行った。内部反射素子(光学結晶)はセ レン化亜鉛(ZnSe、入射角45°)を用いた。 試料の大きさは結晶の大きさ(48mm×20 mm) と同じにした。試料と結晶との密着性 を一定にするため、試料裏面とホルダーとの 間にアルミニウム箔で覆ったシリコンゴム (厚さ1mm)を置き、手動式トルクドライ バ (6RTD-N、東日製作所)を用い、40N·cm で固定した。

測定した後、吸光度スペクトルの2次微分

処理(Savitsky-Golay法 [5])を行った。2次 微分スペクトルとは、吸光度Eの波長λによ る微分値d²E/dλ²を、波長の関数として表し たものである。2次微分スペクトルをとると 重なり合ったピークが別々のピークとしては っきり現れる。2次微分スペクトルにおける 下向きのピークは、元のスペクトルの上向き のピークに対応する。また、2次微分スペク トルではベースラインが一定になる [6]。

2. 3 電気泳動法

羊毛タンパク質 (ケラチン) の調製は、還 元ミセル抽出法 [7-9] で行った。試料50mg と可溶化剤 [ドデシル硫酸ナトリウム (SDS)、 2-メルカプトエタノール (2-ME、0.1M)、尿 素 (7M)]1mLとを混合 (pH6-8) し、50℃で 5-6時間振盪した後、蒸留水1mLを加えてガ ラス繊維濾紙(GS-25、アドバンテック東洋) で不溶物 (表皮に由来)を濾別し、透析膜 (ス ペクトラ/ポア、分画分子量5000、スペクト ラム社)で透析(蒸留水、室温、2-3時間) して、ケラチン(ケラテイン)水溶液を調製 した。ケラチンを界面活性剤 (SDS) の共存 下で、還元剤(2-ME)とタンパク質変性剤 (尿素)で抽出すると、界面活性剤が還元ケ ラチン分子と会合してミセルを形成する。ミ セルは静電的反発で互いに離され、還元ケラ チン分子の凝集と隣接したチオール基(-SH) の酸化(S-S結合の形成)とを抑えるため、安 定なケラチン水溶液が得られる [7-9]。

網タンパク質(フィブロイン)の調製は、 中性塩法 [10] で行った。試料50mgと臭化 リチウム溶液 (9M) 1mLとを混合し、30℃ で5時間振盪して溶解した後、蒸留水1mLを 加えて透析膜 (スペクトラ/ポア、分画分子 量5000、スペクトラム社)で透析 (蒸留水、 室温、24時間)して調製した。

タンパク質の電気泳動は、電気泳動システ ム (ミニプロティアン3、パワーパック300、 ゲルエアドライヤー、バイオ・ラッド社)を 用い、変性―ポリアクリルアミドゲル電気泳 動 (SDS-PAGE) 法で行った。泳動条件は、 試料10uL (2-MEを含む試料溶液を沸騰水浴 中で4分間処理して調製)、10-20%濃度勾配ゲ ル (レディーゲルJ、バイオ・ラッド社)、不 連続緩衝液系(Laemmli法 [11]、トリス/グ リシン/SDS、プレミックスバッファー、バ イオ・ラッド社)、分子量マーカー (プレシジ ョンプロテインスタンダード、バイオ・ラッ ド社) を用い、200V (定電圧) で行った。 泳動した後、タンパク質の検出は、ゲル染色 剤 (Bio-Safe CBB G-250ステイン、バイオ・ ラッド社)で行った。

3. 結果と考察

3. 1 赤外分光法

羊毛の化学処理(酸化剤、還元剤)による 影響を評価するため、種々の漂白・防縮処理 を行った。羊毛ケラチンの最大の特徴は、ボ リペプチド主鎖間を架橋するシスチン残基の 硫黄--硫黄結合(-S-S-結合)である。酸化 漂白(過酸化水素)では、S-S結合は開裂し て酸化され、システイン酸 (-SO₃) 残基が 生成する [12]。還元漂白(亜ジチオン酸塩、 二酸化チオ尿素)では、通常の漂白処理のpH 条件下では、これらの分解生成物として亜硫 酸塩が生成する。このため、S-S結合は亜硫 酸分解され、システイン-S-スルホン酸塩(ブ ンテ塩、-S-SO:) 残基が生成する [13]。ま た、塩素酸化防縮(ジクロロイソシアヌール 酸塩)では、システイン酸残基が、酸素酸化 防縮(モノ過硫酸塩)では、ブンテ塩残基が

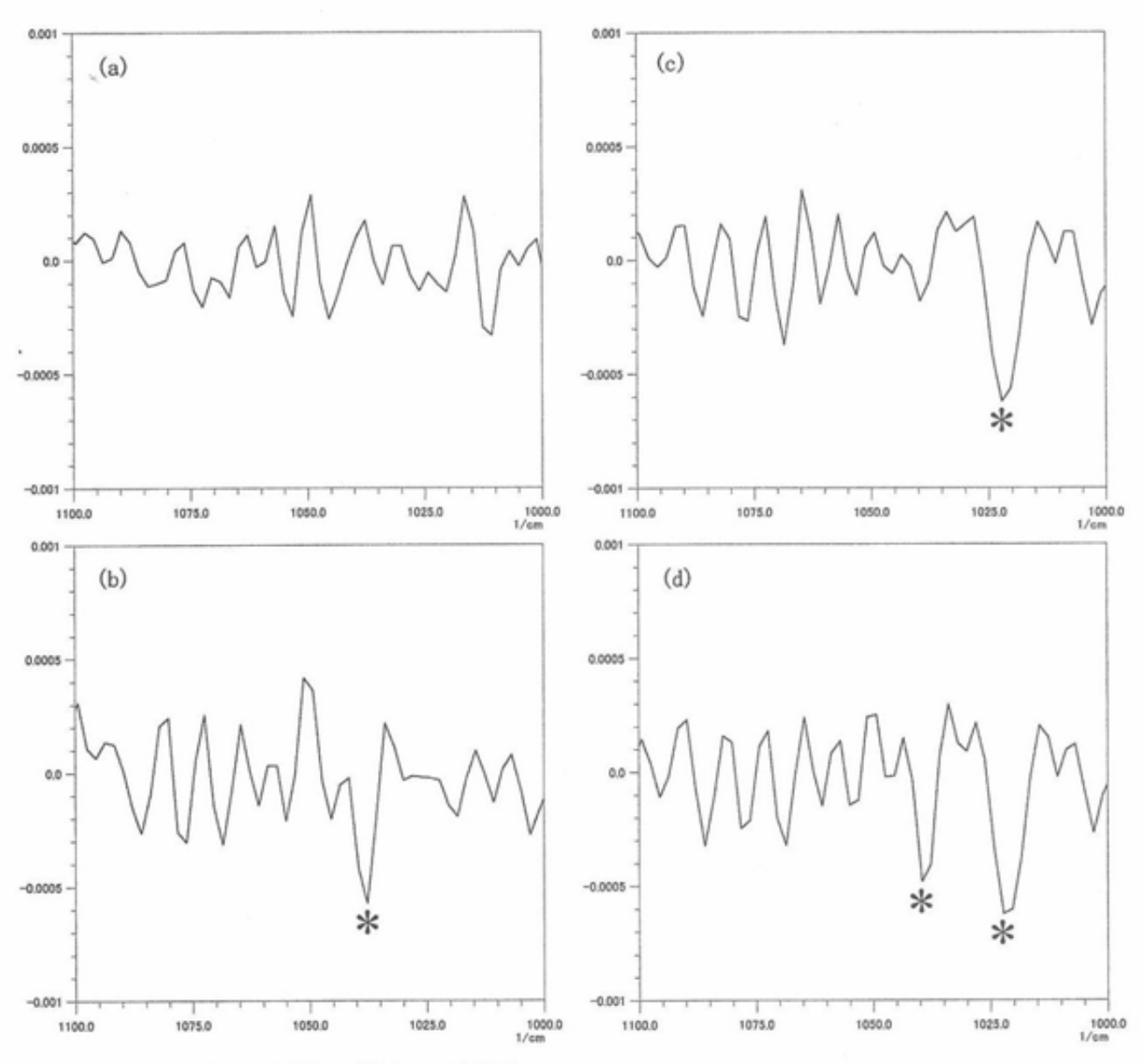


図1 漂白処理羊毛の2次微分スペクトル (a)未処理,(b)酸化漂白,(c)還元漂白,(d)混合(酸化/還元)漂白

生成する [14]。これら残基の赤外光の吸収帯 (S-O対称伸縮振動)は、システイン酸は1040 cm⁻¹、ブンテ塩は1022cm⁻¹付近にある [2,3]。 漂白処理した羊毛の2次微分スペクトルを 図1に示す。また、そのアルカリ溶解度(AS) を表2に示す。アルカリ溶解度では、処理の 識別はできない。しかし、それぞれに、その

表 2 漂白法とアルカリ溶解度

	漂	白	法	AS(%)
未処	理			14.3
酸化	(百	贫性如	某体)	23.3
還元				21.6
混合	(百	変化/	/還元)	22.0

特性吸収帯(図1の*印)が認められ、漂白 法の種類が、生成物の種類[酸化漂白法:シ ステイン酸、還元漂白法:ブンテ塩、混合(酸 化/還元)漂白法:システイン酸/ブンテ 塩]から識別することが可能である。

酸化漂白した羊毛試料のアルカリ溶解度 (AS)を表3に示す。アルカリ溶解度とシステイン酸との間には、相関関係が見出されている [12]。酸化漂白した試料は、アルカリ溶解度が大きく増加する。そして、その増加は処理条件(過酸化水素の濃度、温度、時間)に関係し、濃度や時間に比べ、温度の影響が

表 3 羊毛の酸化漂白処理

媒	体	濃度 (mL/L)	温度 (℃)	時間 (分)	AS (%)	システイン耐 (×10 ⁻⁴)
-	_	-	_	_	14.3	_
酸	性	20	70	45	23.3	5.7
		20	70	90	31.4	6.2
		20	90	45	59.6	7.7
		40	70	45	29.8	6.0
アル	かり性	20	50	45	18.2	3.1
		20	50	90	18.9	4.0
		20	70	45	31.3	6.8
		40	50	45	18.4	5.4

大きいことが認められる。また、2次微分スペクトルによるシステイン酸 (-SO₅) のピークの高さを表3に示す。処理条件による損傷の程度は、生成するシステイン酸の量 (ピークの大きさ) からも、濃度や時間に比べ、温度の影響が大きいことが認められる。媒体 (酸性、アルカリ性) の比較では、システイン酸含量/アルカリ溶解度の比は、両媒体で異なる傾向を示すことが報告されている[15]。アルカリ性媒体の方が、同じ程度のアルカリ溶解度 (AS=31%) でも、システイン酸の量が少し大きいことが認められる。しかし、未知試料からの識別は困難であると考える。

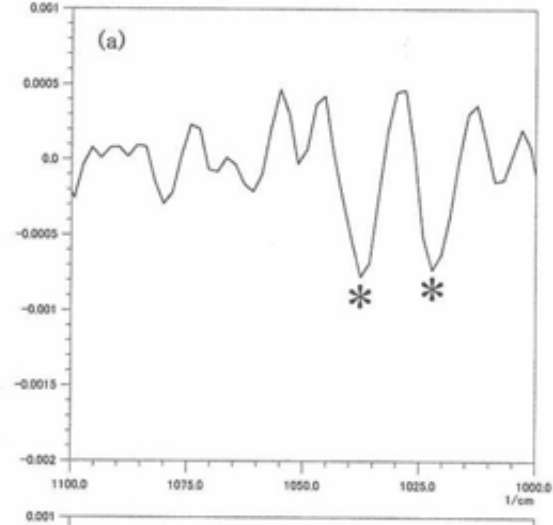
還元漂白した羊毛試料のアルカリ溶解度 (AS) と2次微分スペクトルによるブンテ塩 (-S-SO₅) のピークの高さを表4に示す。ア ルカリ溶解度は増加するが、処理条件(亜ジ チオン酸塩の濃度、温度、時間)との関係は 明確ではない。しかし、生成するブンテ塩の

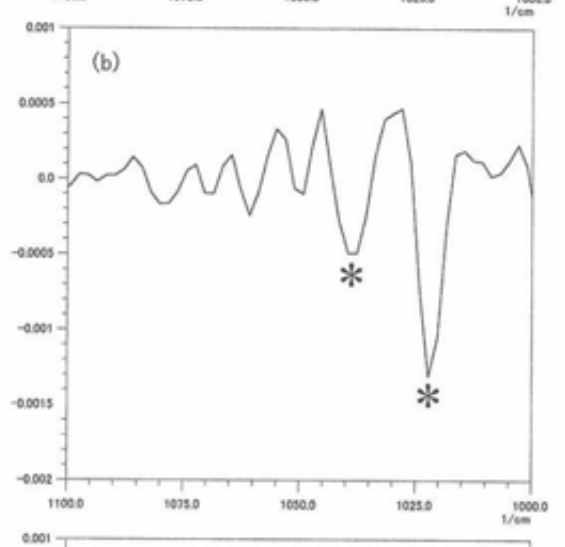
表 4 羊毛の還元漂白処理

濃度 (g/L)	温度 (℃)	時間 (分)	AS (%)	ブンテ塩 (×10 ⁻⁴)
1-1	_	_	14.3	_
5	70	45	21.6	4.9
5	70	90	20.8	8.3
5	90	45	18.7	8.8
10	70	45	28.2	6.5
10	70	90	24.1	10.7
10	90	45	17.8	11.6

表 5 防縮法とアルカリ溶解度

	防	縮	法	AS(%)
未処理				14.3
塩素酸化	: (酸	化/	脱塩素)	26.1
塩素酸化	:/還	元漂	白(還元	24.8
酸素酸化	:(酸	化/	還元)	22.9





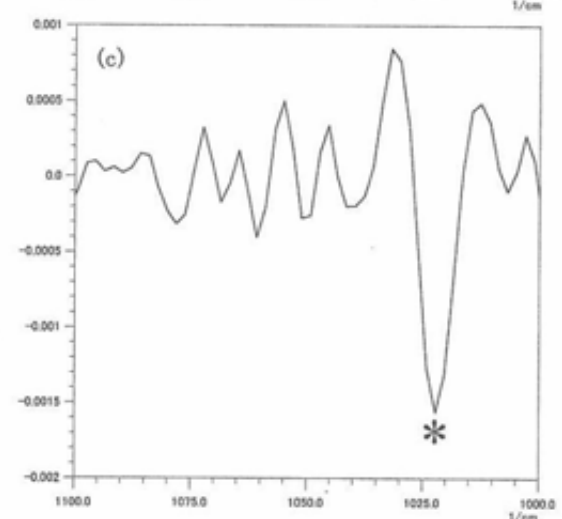


図 2 防縮処理羊毛の 2 次微分スペクトル (a)塩素酸化(酸化/脱塩素) (b)塩素酸化/還元漂白

(c)酸素酸化 (酸化/還元)

量 (ピークの大きさ) から、濃度や時間に比 べ、温度の影響が大きいことが認められる。

防縮処理した羊毛のアルカリ溶解度 (AS) を表5に、その2次微分スペクトルを図2に示す。それぞれに、その特性吸収帯 (図2の*印) が認められ、防縮法の種類が、生成物の種類 [塩素酸化 (/脱塩素) 法:システイン酸 (/ブンテ塩)、酸素酸化法:ブンテ塩] から識別することが可能である。

なお、羊毛の混紡試料について、赤外分光 法によるシステイン酸残基とブンテ塩残基の 検出を検討した。毛/ポリエステルでは、シ ステイン酸残基はポリエステルのピークとは 重なり合わないが、ブンテ塩残基は重なり合 うこと、毛/ナイロン、毛/アクリル、毛/ 網では、両残基ともナイロン、アクリル、絹 のピークとは重なり合わないことを確認した。 また、毛/綿(麻、レーヨン)では、両残基 とも重なり合うことを確認した(表6)。

表 6 羊毛混紡試料のFTIR/ATRによる生成ア ミノ酸残基の検出

混紡試料	システイン酸	ブンテ酸
ポリエステル	0	×
ナイロン	0	0
アクリル	0	0
絹	0	0
綿(麻、レーヨン)	×	×

○:羊毛と重なり合わない ×:羊毛と重なり合う

3. 2 電気泳動法

羊毛の染色処理 (pH値、温度) による影響を評価するため、種々のブランク染色処理を行った。羊毛は通常は沸騰点 (100℃) 近くの温度で染められる。100℃での染色で、染浴のpH値と羊毛の損傷との関係は、羊毛の等電点領域 (pH3.5-4.5) では羊毛の損傷が最小になり、これより低いpH値(pH3以下)では主鎖のペプチド結合の切断が、高いpHでは主鎖のペプチド結合の切断が、高いpH

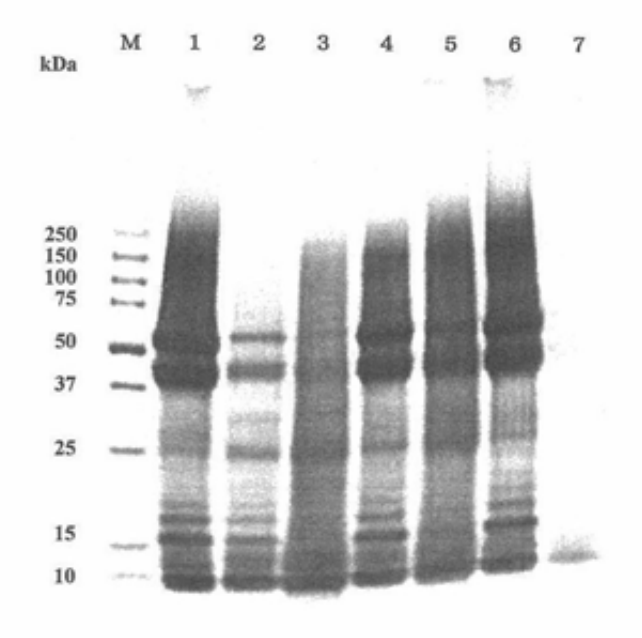
値 (pH3以上) ではこの結合とS-S結合との 切断が起こる [16]。また、ポリエステルを混 紡したものは高温(120℃)で染められる。120 ℃の染色では羊毛は著しい損傷を受け、その 程度はpH4よりもpH2のときにより大きい [17]。

ブランク染色処理した羊毛試料のアルカリ溶解度 (AS) を表7に示す。アルカリ溶解度は、同じpH値では、染浴の温度が高くなると大きく増加することが認められる。また、染浴のpH値が低くなると増加し、高くなると減少することが認められる。アルカリ溶解度の減少はランチオニン架橋(主鎖間結合)が生成するためである[18]。

表7 羊毛のブランク染色処理

рН	温度(℃)	時間 (分)	AS (%)
_	_	_	14.7
2	100	60	31.6
2	110	60	53.9
2	120	60	71.5
4	100	60	19.0
4	100	120	24.7
4	110	60	23.8
4	120	30	33.7
4	120	60	49.4
6	100	60	13.5
6	110	60	14.9
6	120	60	29.8
8	100	60	8.4
8	110	60	12.1
8	120	60	34.4

羊毛ケラチンの電気泳動 (SDS-PAGE) の 結果を図3、4に示す。処理条件により、泳動 パターンが変化することが認められる。羊毛 ケラチンには、大きく分けて、シスチン (Cys) 含量の低い (低硫黄成分) タンパク 質 (分子量約5万) と高い (高硫黄成分) タ ンパク質 (分子量約2万) との2種類が含まれ ている。前者は、中間(径) フィラメントタ ンパク質と呼ばれ、ミクロフィブリルに由来

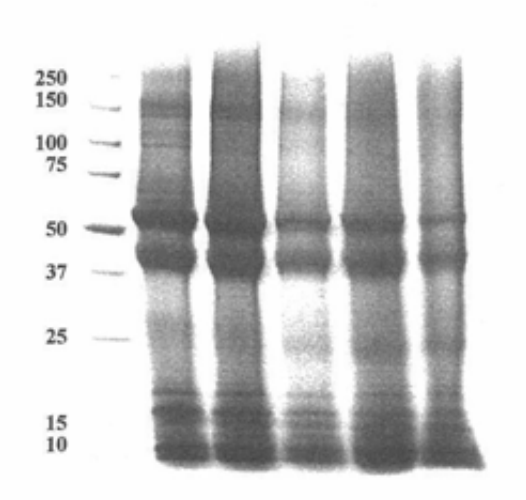


M:分子量マーカー 2:pH2, 100 ℃, 60 分 4:pH4, 100 ℃, 60 分 6:pH6, 100 ℃, 60 分 7:pH6, 120 ℃, 60 分

分子質量	成	分	由	来
40-60kDa 10-30kDa	低硫黄(LS) 高硫黄(HS)	タンパク質 タンパク質	ミクロフマトリッ	

図3 羊毛ケラチンのSDS-PAGE

M 1 2 3 4 5



M:分子量マーカー 2:pH4, 100 ℃, 60 分 4:pH4, 120 ℃, 30 分 5:pH4, 120 ℃, 60 分

図 4 羊毛ケラチンのSDS-PAGE

する。後者は、中間(径)フィラメント関連 タンパク質と呼ばれ、非晶性のマトリックス に由来する[19,20]。処理条件がpH2(図3 のレーン2,3)では、低硫黄成分タンパク質のバンドが減少し、120℃(図3のレーン3,5)では、高硫黄成分タンパク質のバンドも減少することが認められる。また、同じpH値では、時間よりも温度の影響が大きいことが認められる(図4)。なお、処理条件がpH6で120℃(図3のレーン7)とpH8とでは、タンパク質の抽出が困難(不溶)であった。これは、S-S結合の一部がランチオニン架橋(チオエーテル結合、-S-)になり、S-S結合の還元では溶解しないためと考える。

また、絹についても、染色処理(pH値、 温度)による影響を評価するため、種々のブ ランク染色処理を行った。絹フィブロインの 電気泳動(SDS-PAGE)の結果を図5に示す。 絹フィブロインは、長鎖成分(分子量約35万) と短鎖成分(分子量約2.5万)の大小の2つの サブユニットがS-S結合で結合した構造をと っている [21]。処理条件がpH2で100℃では、 短鎖成分の減少が大きく、pH4で100℃でも、 短鎖成分の減少が認められる。また、pH2で

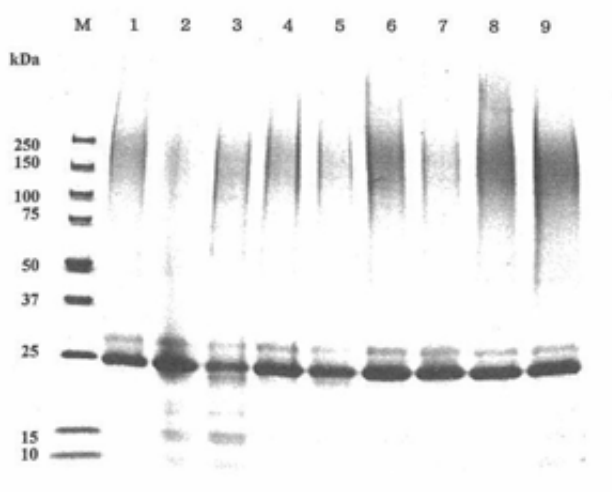




図5 絹フィブロインのSDS-PAGE

は、短鎖成分以下の分子量成分が増加するの が認められる。

4. おわりに

羊毛の化学的な変化(損傷)の原因を識別、 推定する評価法について検討した。赤外分光 法 (FTIR/ATR法) を応用して、羊毛の化 学処理 (酸化剤、還元剤) による繊維表面の アミノ酸残基の変化を評価できた。その変化 の主体は、一部のシスチン残基のS-S結合(主 鎖間結合)が切断して、酸化剤による処理で はシステイン酸残基が生成し、還元剤による 処理ではブンテ塩残基が生成することである。 これらの残基の種類から、処理の識別が可能 であった。さらに、電気泳動法 (SDS-PAGE 法)を応用して、羊毛の染色処理(pH値、 温度)によるタンパク質の泳動パターンの変 化を評価できた。その変化は、ペプチド結合 (主鎖結合) の切断による分子量の低下であ り、低いpH値(pH2)では低硫黄成分(LS) が低下し、高い温度(120℃)では高硫黄成 分(HS)も低下した。これらのことから、処理 の識別が可能であった。これらのまとめ(染 色・化学加工の推定表)を表8に示す。

また、絹の染色処理 (pH値、温度) についても、電気泳動法を応用して、タンパク質の分子量の変化から、処理の識別の可能性が

示唆された。

文 献

- [1] JIS L1081-1998 羊毛繊維試験方法 (解 説-1992).
- [2] C.M.Carr, D.M.Lewis; J.Soc. Dyers Colour., 109, 21-24 (1993-9).
- [3] F.J.Douthwaite, D.M.Lewis, U.Schumacher-Hamedat; Textile Res. J., 63, 177-183 (1993-6).
- [4] C.Wilrich, G.Wortmann, F.-J.Wortmann, H.Hocker; Proc. 9th Int. Wool Text. Res. Conf., Biella, II, 289-295 (1995).
- [5] A.Savitzky, M.J.E. Golay; Anal. Chem., 36, 1627-1639 (1964-7).
- [6] 田中丈幸, 尾崎幸洋; 分光研究, 49, 306-321(2000-6).
- [7] 山内清;高分子加工,43,14(1994-1).
- [8] K.Yamauchi, A.Yamauchi, T.Kusunoki, A.Khoda, Y.Konishi; J.Biomed. Mater. Res., 31, 439-444 (1996).
- [9] 山内清;高分子,50,240-243(2001-4).
- [10] 小林計一;「シルクへの招待」,サイエンスハウス、167-169(1998).
- [11] U.K.Laemmli; Nature, 227,680-685 (1970-8).
- [12] J.Cegarra, J.Gacén; クリンプ, 59, 5-27

3C 0 十七 V 木巳 1 1 1 1 1 1 1 1 1 1 1 1 1 1 1 1 1 1	表 8	羊毛の染色・	化学加工	この推定す
--------------------------------------------------	-----	--------	------------------------	-------

₩ / E / +	漂白処理		防縮処理		染色処理		
評価法	酸化	還元	塩素酸化	酸素酸化	pH3>	pH7<	高温
AS	增加	增加	增加	增加	增加	減少	增加
FTIR/ATR							
-SO ₃ -	增加		增加				
-S-SO ₃ -		增加	增加	增加			
SDS-PAGE						不溶	
LS					減少		減少
HS							減少

(1985).

- [13] M.Kwasny, H.Deutz, H.Höcker; Melliand Textilber., 75, 906-910 (1994-11).
- [14] F.J.Douthwaite, D.M.Lewis; J.Soc. Dyers Colour., 110, 304-307 (1994-10).
- [15] J.Gacen, D.Cayuela; J.Soc. Dyers Colour., 116, 13-15 (2000-1).
- [16] D.M.Lewis; Rev. Prog. Coloration, 19, 49-56(1989).
- [17] D.M.Lewis; J.Soc. Dyers Colour., 106,

270-274 (1990-9).

- [18] I.Steenken, H.Zahn; J.Soc. Dyers Colour., 102, 269-273 (1986-9).
- [19] 新井幸三;繊維学会誌(繊維と工業),45, P512-516(1989-12).
- [20] 新井幸三;「繊維便覧 第2版」,繊維学 会編, 丸善, 89-90(1994).
- [21] 小林計一;「シルクへの招待」,サイエンスハウス,75-78(1998).